

Квантовое распределение ключей в однофотонном режиме с неортогональными состояниями внутри базиса

Д. А. Кронберг⁺, С. Н. Молотков^{+*∇}

⁺ Институт физики твердого тела РАН, 142432 Черноголовка, Московская обл., Россия

* Академия криптографии Российской Федерации

[∇] Факультет вычислительной математики и кибернетики, МГУ им. М. В. Ломоносова, 119992 Москва, Россия

Поступила в редакцию 11 ноября 2008 г.

После переработки 2 марта 2009 г.

Протокол квантового распределения ключей с неортогональными состояниями внутри базиса является обобщением известного протокола распределения ключей BB84. При произвольных значениях угла между информационными состояниями найдена критическая ошибка и длина секретного ключа для протокола с неортогональными базисными состояниями. Построена явная оптимальная атака на передаваемый ключ, которая максимизирует информацию подслушвателя при наблюдаемой на приемной стороне ошибке.

PACS: 03.65.Hk, 03.67.Dd

Одна из главных проблем квантовой криптографии состоит в том, что источник квантовых состояний не является строго однофотонным. Данное обстоятельство вместе с потерями в квантовом канале связи приводит к невозможности передачи ключей при длине линии связи больше некоторой критической величины. После открытия PNS-атаки [1] (Photon Number Splitting Attack) секретность основных протоколов квантового распределения ключей для каналов связи с потерями оказалась под вопросом. Гарантированно секретное распределение ключей для протоколов с ортогональными состояниями внутри базиса, например, такого как BB84 [2], оказывается невозможным. Это связано с тем, что подслушватель может задерживать свои измерения до стадии раскрытия базисов легитимными пользователями. После раскрытия базисов подслушватель делает измерения в уже известном базисе, и если состояния внутри базиса ортогональны (достоверно различимы), то можно получить полную информацию о ключе, не производя ошибок на приемной стороне.

Один из способов решения проблемы состоит в том, чтобы сделать состояния внутри базисов неортогональными – достоверно неразличимыми даже при раскрытом известном базисе. Одним из таких протоколов квантового распределения ключей является протокол SARG04, предложенный в [3]. Стойкость данного протокола [4] и более сложных протоколов, например, протокола с фазово-временным кодированием [5], при больших длинах линии связи анализировалась в ряде работ. Однако, насколько нам известно,

полный анализ стойкости протокола ввиду сложности при длине линии связи меньше критической величины и строго однофотонном источнике при произвольных углах между информационными состояниями внутри базисов до сих пор не сделан.

После передачи серии квантовых состояний Алисой, измерений их Бобом и интерпретации результатов измерений на приемной стороне, Алиса и Боб имеют битовые строки X и Y , причем строка Боба содержит ошибки. Ева имеет в своем распоряжении вспомогательную квантовую систему (ρ_n^E) , которая была запутана с состоянием Алисы (Боба). Поскольку Алиса посылает в каждой посылке состояния независимо друг от друга, то матрица плотности Евы может быть представлена в виде тензорного произведения матриц плотности возмущенного состояния Евы в каждой посылке $\rho_n^E = \rho^E \otimes \rho^E \dots \otimes \rho^E$. Степень корреляции между битовыми строками Алисы и Боба описывается взаимной информацией $nI_{AB}(X; Y)$ [6–9]. Для исправления ошибок Алиса и Боб должны обмениваться информацией через открытый классический канал связи. Чтобы получить идентичные битовые строки с вероятностью, сколь угодно близкой к единице при длинной последовательности, необходимо выдать через открытый канал не менее $nH(X|Y)$ бит информации ($nH(X|Y)$ – условная шенноновская энтропия X при данном Y [6, 9]). Данная информация доступна Еве. На данном этапе информация Евы ограничена величиной $n(H(X|Y) + \chi(\rho_n^E))$ ($\chi(\rho_n^E)$ – фундаментальная величина Холево [7], которая дает верхнюю границу классической информа-

ции, которая может быть извлечена Евой из квантового ансамбля ρ_n^E . Чтобы удалить эту информацию у Евы, Алиса и Боб используют процедуру усиления секретности [10,11] – сжатия ключа. Цель усиления секретности ключа состоит в том, чтобы из битовой строки длины n , о которой Ева имеет частичную информацию, получить битовую строку меньшей длины – $n(H(X) - H(X|Y) - \chi(\rho_n^E))$ бит, о которой Ева, в асимптотическом пределе больших n , не будет иметь никакой информации. Данная строка является финальным секретным ключом. Таким образом, распределение секретных ключей возможно, если $I_{AB}(X;Y) = H(X) - H(X|Y) > \chi(\rho_n^E)$. Длина секретного ключа в пересчете на посылку оказывается равной¹⁾ [12]

$$r = H(X) - H(X|Y) - \max_{\rho^E \in \Gamma\{Q\}} \chi(\rho^E), \quad (1)$$

где максимум берется по множеству матриц плотности $\Gamma\{Q\}$, которые дают наблюдаемую ошибку Q на приемной стороне Боба.

Информационные квантовые состояния. В протоколе используются два базиса, которые обозначаются как a и b . Важно, что состояния внутри базисов неортогональны и состояния в разных базисах получаются друг из друга зеркальным отражением [4]. Состояния в базисах a и b имеют вид

$$\begin{aligned} |0_a\rangle &= \begin{pmatrix} \cos \frac{\eta}{2} \\ \sin \frac{\eta}{2} \end{pmatrix}, & |1_a\rangle &= \begin{pmatrix} \cos \frac{\eta}{2} \\ -\sin \frac{\eta}{2} \end{pmatrix}, \\ |0_b\rangle &= \begin{pmatrix} \sin \frac{\eta}{2} \\ -\cos \frac{\eta}{2} \end{pmatrix}, & |1_b\rangle &= \begin{pmatrix} \sin \frac{\eta}{2} \\ \cos \frac{\eta}{2} \end{pmatrix}. \end{aligned} \quad (2)$$

Для дальнейшего понимания важно, что состояния, отвечающие одинаковым значениям бита 0 (соответ-

¹⁾ Отметим, что при построении оптимальной атаки Евы может быть использована другая процедура оптимизации, предложенная в [12], где исходно в каждой посылке Алиса готовит максимально запутанное состояние (EPR-состояние) составной системы АВ и посылает подсистему В к Бобу. Делая измерение над своей подсистемой А, Алиса фиксирует состояние Боба. Общее выражение для длины секретного ключа при $n \rightarrow \infty$ в этом случае имеет вид $r = \min_{\rho_{AB} \in \Gamma\{Q\}} (H(X|E) - H(X|Y))$, где $H(X|E)$, $H(X|Y)$ – условные энтропии фон Неймана, вычисленные для матриц плотности $\rho_{XUE} = \mathcal{T}_{XUE \leftarrow ABE}(\rho_{ABE}^{\otimes n})$. Здесь ρ_{ABE} – матрица плотности, отвечающая чистому состоянию тройной составной системы (Алиса, Боб, Ева), ρ_{AB} – матрица плотности Алисы и Боба, получающаяся из ρ_{ABE} взятием частичного следа по состояниям Евы. Отображение $\mathcal{T}_{XUE \leftarrow ABE}$ описывает преобразование матрицы плотности тройной составной системы при процедурах коррекции ошибок и усиления секретности. Можно показать, что оба способа оптимизации приводят к одинаковым результатам.

ственно 1) из разных базисов, ортогональны $\langle 0_a|0_b\rangle = 0$ ($\langle 1_a|1_b\rangle = 0$), а состояния, отвечающие 0 и 1 внутри одного базиса, неортогональны (2).

Действия подслушителя. До подслушивания в квантовом канале невозмущенное, посланное Алисой, состояние описывается матрицей плотности в \mathcal{H}_A для чистого состояния (2) – $\rho_A^{i_m} = |i_m\rangle\langle i_m|$, $i_m = 0_{a,b}, 1_{a,b}$ – индекс состояния Алисы. После вторжения Евы в квантовый канал, возмущенное состояние Алисы также описывается матрицей плотности в \mathcal{H}_A , но, вообще говоря, для смешанного состояния – $\tilde{\rho}_A^{i_m}$. Далее, любое преобразование $\mathcal{T}(\dots)$, переводящее матрицы плотности в матрицы плотности $\tilde{\rho}_A^{i_m} = \mathcal{T}(\rho_A^{i_m})$, является супероператором (часто также называемое квантовой операцией или инструментом, см. [7,8] и ссылки там). Любой супероператор унитарно представим [7,8], то есть может быть представлен как

$$\begin{aligned} \tilde{\rho}_A^{i_m} &= \text{Tr}_E\{U(|i_m\rangle\langle i_m| \otimes |E\rangle_E \langle E|)U^{-1}\} = \\ &= \text{Tr}_E\{|\Psi^{i_m}\rangle_{AE} \langle \Psi^{i_m}|_{AE}\}, \\ |\Psi^{i_m}\rangle_{AE} &= U(|i_m\rangle \otimes |E\rangle), \end{aligned} \quad (3)$$

где $|E\rangle_E$ – некоторое чистое состояние в \mathcal{H}_E , U – унитарный оператор эволюции, действующий в $\mathcal{H}_A \otimes \mathcal{H}_E$. Такое представление неоднозначно, то есть в нем имеется свобода.

Цель Евы состоит в том, чтобы выбрать свою квантовую систему $|E\rangle$ (пространство состояний \mathcal{H}_E) и взаимодействие (унитарный оператор U) таким образом, чтобы в конце протокола получить максимально возможное количество информации о ключе при данной наблюдаемой ошибке Q на приемной стороне Боба. Выясним вид возмущенных матриц плотности для возмущенного состояния $\tilde{\rho}_A^{0_a}$. Любую матрицу плотности можно привести к диагональному виду, общий вид возмущенной матрицы плотности Алисы в пространстве \mathcal{H}_A размерности 2 есть

$$\tilde{\rho}_A^{0_a} = \lambda_0^{(a)} |\lambda_0^{(a)}\rangle\langle \lambda_0^{(a)}| + \lambda_1^{(a)} |\lambda_1^{(a)}\rangle\langle \lambda_1^{(a)}|, \quad (4)$$

здесь $|\lambda_0^{(a)}\rangle, |\lambda_1^{(a)}\rangle$ – пара ортогональных собственных векторов в пространстве \mathcal{H}_A , в том же двумерном пространстве (“плоскости”) лежит пара исходных ортогональных векторов $|0_a\rangle$ и $|0_b\rangle$. Аналогично для состояния возмущенного $\tilde{\rho}_A^{0_b}$ имеем

$$\tilde{\rho}_A^{0_b} = \lambda_0^{(b)} |\lambda_0^{(b)}\rangle\langle \lambda_0^{(b)}| + \lambda_1^{(b)} |\lambda_1^{(b)}\rangle\langle \lambda_1^{(b)}|, \quad (5)$$

здесь также $|\lambda_0^{(b)}\rangle, |\lambda_1^{(b)}\rangle$ – пара ортогональных собственных векторов в “плоскости” \mathcal{H}_A . Воспользуемся соображениями симметрии между $|0_a\rangle$ и $|0_b\rangle$.

Поворот в “плоскости” \mathcal{H}_A на $\pi/2$ переводит ортогональные (2) состояния друг в друга ($|0_a\rangle \rightarrow |0_b\rangle$),

при этом повороте $\tilde{\rho}_A^{0a} \rightarrow \tilde{\rho}_A^{0b}$. Соответственно, ортогональные собственные векторы $|\lambda_0^{(a)}\rangle$ и $|\lambda_1^{(a)}\rangle$ ($|\lambda_0^{(b)}\rangle$ и $|\lambda_1^{(b)}\rangle$) переходят друг в друга. Соображения симметрии между $\tilde{\rho}_A^{0a}$ и $\tilde{\rho}_A^{0b}$ диктуют, что при таком повороте функциональная структура состояний должна сохраниться. Ортогональность собственных векторов и соображения симметрии позволяют записать возмущенные матрицы плотности в виде

$$\tilde{\rho}_A^{0a} = (1-p)|\lambda_0\rangle\langle\lambda_0| + p|\lambda_1\rangle\langle\lambda_1|, \quad (6)$$

$$\tilde{\rho}_A^{0b} = p|\lambda_0\rangle\langle\lambda_0| + (1-p)|\lambda_1\rangle\langle\lambda_1|, \quad (7)$$

здесь $|\lambda_0\rangle$ и $|\lambda_1\rangle$ – ортогональные векторы в “плоскости” \mathcal{H}_A (лишние индексы опущены). Собственные числа, в сумме дающие единицу ($\lambda_0^{(a,b)} + \lambda_1^{(a,b)} = 1$), обозначены как $\lambda_0^{(a)} = \lambda_1^{(b)} = 1-p$ и $\lambda_1^{(a)} = \lambda_0^{(b)} = p$.

Ориентация пары ортогональных векторов $|\lambda_0\rangle$, $|\lambda_1\rangle$ относительно другой пары ортогональных векторов $|0_a\rangle$, $|0_b\rangle$ в “плоскости” \mathcal{H}_A пока не фиксирована. Здесь опять помогают соображения симметрии. Вероятность ошибки, производимая Евой в базисах a и b , должна быть одинаковой. Поскольку измерения на приемной стороне Боба фактически сводятся к проектированию на векторы $|0_{a,b}\rangle$ и $|1_{a,b}\rangle$ (см. ниже)²⁾, то это обстоятельство приводит к тому, что в качестве векторов $|\lambda_0\rangle$ и $|\lambda_1\rangle$ следует выбрать ортогональные векторы $|0_a\rangle$, $|0_b\rangle$. Таким образом, векторы $|0_a\rangle$, $|0_b\rangle$ являются собственными векторами частичных матриц плотности $\tilde{\rho}_A^{0a}$ и $\tilde{\rho}_A^{0b}$.

Далее, для того, чтобы выяснить совместное действие унитарного оператора на произвольное передаваемое состояние и состояние Евы, достаточно описать действие U на базисные состояния в \mathcal{H}_A . Действие на другие состояния может быть получено по линейности U . Любое чистое состояние в $\mathcal{H}_A \otimes \mathcal{H}_E$ может быть разложено всевозможным тензорным произведением линейно независимых векторов в $\mathcal{H}_A \otimes \mathcal{H}_E$. Имеем

$$\begin{aligned} |\Psi^{0a}\rangle_{AE} &= U(|0_a\rangle \otimes |E\rangle) = \\ &= \sqrt{1-p}|0_a\rangle \otimes |\bar{\psi}_{0a}\rangle + \sqrt{p}|0_b\rangle \otimes |\bar{\theta}_{0b}\rangle, \end{aligned} \quad (8)$$

здесь $|\bar{\psi}_{0a}\rangle$ и $|\bar{\theta}_{0b}\rangle$ – пара нормированных векторов в \mathcal{H}_E . Разложение Шмидта [7, 8] (см. также [14]) гарантирует, что если векторы $|0_a\rangle$, $|0_b\rangle$ являются

²⁾ Геометрически это очевидно, но в этом можно убедиться прямым вычислением: если угол между двумя ортогональными базисами оставить произвольным, то при дальнейшем вычислении ошибки по формулам (20), (21) можно увидеть, что этот угол должен быть нулем. То есть базисы совпадают.

собственными векторами частичной матрицы плотности (4) $\tilde{\rho}_A^{0a}$, то векторы $|\bar{\psi}_{0a}\rangle$ и $|\bar{\theta}_{0b}\rangle$ автоматически будут собственными, а значит, и ортогональными векторами частичной матрицы плотности $\rho_E^{0a} = \text{Tr}_A\{|\Psi^{0a}\rangle_{AE} \langle\Psi^{0a}|_{AE}\}$, то есть $\langle\bar{\psi}_{0a}|\bar{\theta}_{0b}\rangle = 0$.

Аналогично может быть представлено разложение для второго состояния в $\mathcal{H}_A \otimes \mathcal{H}_E$; имеем

$$\begin{aligned} |\Psi^{0b}\rangle_{AE} &= U(|0_b\rangle \otimes |E\rangle) = \\ &= \sqrt{p}|0_a\rangle \otimes |\bar{\theta}_{0a}\rangle + \sqrt{1-p}|0_b\rangle \otimes |\bar{\psi}_{0b}\rangle, \end{aligned} \quad (9)$$

где, вообще говоря, другой набор ортогональных базисных векторов в \mathcal{H}_E ($\langle\bar{\psi}_{0b}|\bar{\theta}_{0a}\rangle = 0$).

Для того чтобы ситуация стала более содержательной, нужно установить соотношения между двумя ортогональными базисами в \mathcal{H}_E . Для этого воспользуемся унитарностью оператора совместной эволюции U . Условие унитарности требует сохранения скалярного произведения (углов) между векторами состояний до и после взаимодействия. Изначально векторы $|0_a\rangle \otimes |E\rangle$ и $|0_b\rangle \otimes |E\rangle$ ортогональны, после совместной эволюции векторы $|\Psi^{0a}\rangle_{AE}$ и $|\Psi^{0b}\rangle_{AE}$ также должны остаться ортогональными, с учетом (8), (9) имеем

$$\begin{aligned} {}_{AB}\langle\Psi^{0a}|\Psi^{0b}\rangle_{AE} &= \\ &= (1-p)0 \cdot \langle\bar{\psi}_{0a}|\bar{\psi}_{0b}\rangle + p0 \cdot \langle\bar{\theta}_{0b}|\bar{\theta}_{0a}\rangle + \\ &+ \sqrt{(1-p)p}(\langle\bar{\psi}_{0a}|\bar{\theta}_{0a}\rangle + \langle\bar{\theta}_{0b}|\bar{\psi}_{0b}\rangle) = 0, \end{aligned} \quad (10)$$

откуда следует, что должно быть $\langle\bar{\psi}_{0a}|\bar{\theta}_{0a}\rangle + \langle\bar{\theta}_{0b}|\bar{\psi}_{0b}\rangle = 0$. Кроме того, соотношения симметрии между базисами и состояниями $|0_a\rangle$ и $|0_b\rangle$ диктуют, чтобы $\langle\bar{\psi}_{0a}|\bar{\theta}_{0a}\rangle = \langle\bar{\psi}_{0b}|\bar{\theta}_{0b}\rangle$, откуда вместе с (10) следует, что состояния $\langle\bar{\psi}_{0a}|\bar{\theta}_{0a}\rangle = \langle\bar{\psi}_{0b}|\bar{\theta}_{0b}\rangle = 0$ попарно ортогональны. Далее, поскольку коэффициенты в скалярном произведении (10) перед $\langle\bar{\psi}_{0a}|\bar{\psi}_{0b}\rangle$ и $\langle\bar{\theta}_{0b}|\bar{\theta}_{0a}\rangle$ равны нулю, то нет никаких оснований считать их ортогональными. Углы между этими базисными векторами из разных базисов могут быть любыми. Обозначим соответствующие скалярные произведения как

$$\langle\bar{\psi}_{0a}|\bar{\psi}_{0b}\rangle = c_\psi, \quad \langle\bar{\theta}_{0b}|\bar{\theta}_{0a}\rangle = c_\theta. \quad (11)$$

Аналогично, как сделано выше для $|0_a\rangle$ и $|0_b\rangle$, можно провести рассуждения для пары ортогональных векторов $|1_a\rangle$ и $|1_b\rangle$. По линейности U можно получить действие Евы на состояния $|1_a\rangle$ и $|1_b\rangle$; имеем

$$\begin{aligned} |\Psi^{1a}\rangle &= U(|1_a\rangle \otimes |E\rangle) = \\ &= \sqrt{1-p}|1_a\rangle \otimes |\bar{\psi}_{1a}\rangle + \sqrt{p}|1_b\rangle \otimes |\bar{\theta}_{1b}\rangle, \end{aligned} \quad (12)$$

$$\begin{aligned} |\Psi^{1b}\rangle &= U(|1_b\rangle \otimes |E\rangle) = \\ &= \sqrt{p}|1_a\rangle \otimes |\bar{\theta}_{1a}\rangle + \sqrt{1-p}|1_b\rangle \otimes |\bar{\psi}_{1b}\rangle. \end{aligned} \quad (13)$$

Далее удобно ввести новые нормированные векторы, связанные с исходными соотношениями:

$$|\psi_{0,1,a,b}\rangle = \sqrt{1-p}|\bar{\psi}_{0,1,a,b}\rangle, \quad |\theta_{0,1,a,b}\rangle = \sqrt{p}|\bar{\theta}_{0,1,a,b}\rangle. \quad (14)$$

Для сокращения выкладок обозначим $|\psi_{0,1,a,b}\rangle = \sqrt{1-p}|\bar{\psi}_{0,1,a,b}\rangle$ и $|\theta_{0,1,a,b}\rangle = \sqrt{p}|\bar{\theta}_{0,1,a,b}\rangle$.

Теперь может быть найдена связь между $|\bar{\psi}_{0a,b}\rangle$, $|\bar{\theta}_{0a,b}\rangle$ и $|\bar{\psi}_{1a,b}\rangle$, $|\bar{\theta}_{1a,b}\rangle$ в базисах a и b . Для этого выразим состояния $|1_a\rangle$ и $|1_b\rangle$ через разложение по паре ортогональных состояний $|0_a\rangle$ и $|0_b\rangle$, выбранных в качестве базиса в \mathcal{H}_A ; имеем

$$\begin{aligned} |1_a\rangle &= c_\eta|0_a\rangle + s_\eta|0_b\rangle, \quad |1_b\rangle = s_\eta|0_a\rangle - c_\eta|0_b\rangle, \\ \sin(\eta) &= s_\eta, \quad \cos(\eta) = c_\eta. \end{aligned} \quad (15)$$

Используя (2) и (8), (9), для состояний подслушивателя получаем

$$\begin{aligned} |\psi_{1a}\rangle &= c_\eta^2|\psi_{0a}\rangle + s_\eta^2|\psi_{0b}\rangle + c_\eta s_\eta(|\theta_{0a}\rangle + |\theta_{0b}\rangle), \\ |\theta_{1a}\rangle &= -c_\eta^2|\theta_{0a}\rangle + s_\eta^2|\theta_{0b}\rangle + c_\eta s_\eta(|\psi_{0a}\rangle - |\psi_{0b}\rangle), \end{aligned} \quad (16)$$

$$\begin{aligned} |\psi_{1b}\rangle &= s_\eta^2|\psi_{0a}\rangle + c_\eta^2|\psi_{0b}\rangle - c_\eta s_\eta(|\theta_{0a}\rangle + |\theta_{0b}\rangle), \\ |\theta_{1b}\rangle &= s_\eta^2|\theta_{0a}\rangle - c_\eta^2|\theta_{0b}\rangle + c_\eta s_\eta(|\psi_{0a}\rangle - |\psi_{0b}\rangle). \end{aligned} \quad (17)$$

Далее, с учетом (16), (17) находим

$$\begin{aligned} \langle\psi_{0a}|\theta_{1b}\rangle &= c_\eta s_\eta(\langle\psi_{0a}|\psi_{0a}\rangle - \langle\psi_{0a}|\psi_{0b}\rangle), \\ \langle\psi_{1a}|\theta_{0b}\rangle &= c_\eta s_\eta(\langle\theta_{0a}|\theta_{0a}\rangle + \langle\theta_{0a}|\theta_{0b}\rangle). \end{aligned} \quad (18)$$

С учетом выражений (12), (13) находим связь между скалярными произведениями векторов (18) в пространстве Евы \mathcal{H}_E ; имеем

$$c_\theta = \frac{(1-p)(1-c_\psi)}{p} - 1. \quad (19)$$

Таким образом, атака Евы на передаваемые состояния полностью описывается заданием унитарного оператора совместной эволюции U . Данный оператор параметризуется в итоге двумя параметрами c_ψ и p , которые в дальнейшем должны быть выбраны так, чтобы Ева могла получить максимум информации о финальном ключе при наблюдаемой ошибке на приемной стороне Боба.

Измерения на приемной стороне. Любые измерения над квантовой системой описываются разложением единицы [7, 8] в пространстве состояний \mathcal{H}_B , в базисе a имеем

$$\begin{aligned} I_B &= M_{0a} + M_{1a} + M_a?, \\ M_{0a} &= \frac{I_B - |1_a\rangle\langle 1_a|}{1 + c_\eta} = \frac{|1_b\rangle\langle 1_b|}{1 + c_\eta}, \\ M_{1a} &= \frac{I_B - |0_a\rangle\langle 0_a|}{1 + c_\eta} = \frac{|0_b\rangle\langle 0_b|}{1 + c_\eta}, \end{aligned} \quad (20)$$

где I_B – единичный оператор в \mathcal{H}_B . Операторно-значные меры M_{0a} и M_{1a} описывают исходы с определенным результатом, а $M_a?$ – исходы с неопределенным результатом. Аналогичные выражения для измеряющих операторов имеют место в базисе b ; они получаются из (20) заменой индексов $a \rightarrow b$ и $b \rightarrow a$ соответственно.

Условная вероятность того, что Алисой исходно послано состояние $|i_m\rangle$ ($i = 0, 1$ в базисе $m = a, b$), а результат измерения интерпретирован как $j = 0, 1$ при измерении в согласованном базисе m у Боба, равна

$$\begin{aligned} \Pr(i_m|j_m) &= \text{Tr}_{BE}\{|\Psi^{i_m}\rangle_{BE} {}_{BE}\langle\Psi^{i_m}|(M_{j_m} \otimes I_E)\} = \\ &= \text{Tr}_B\{\rho_B^{i_m} M_{j_m}\}, \end{aligned} \quad (21)$$

где $\rho_B^{i_m} = \text{Tr}_E\{|\Psi^{i_m}\rangle_{BE} {}_{BE}\langle\Psi^{i_m}|$ – матрица плотности, доступная для измерений на приемной стороне, дается частичным следом совместного запутанного состояния по пространству состояний Евы. Единичный оператор в (21) отражает тот факт, что пока Ева не проводит измерения над своей подсистемой.

Ошибка на приемной стороне – отношение числа неправильных отсчетов к полному числу – имеет вид

$$\begin{aligned} Q &= \frac{\Pr(0a|1a) + \Pr(1a|0a)}{\Pr(0a|0a) + \Pr(1a|1a) + \Pr(0a|1a) + \Pr(1a|0a)} = \\ &= \frac{p}{(1-p)s_\eta^2 + (c_\eta^2 + 1)p}. \end{aligned} \quad (22)$$

Такое же выражение для ошибки имеет место для состояний в базисе b . Данное соотношение позволяет Еве связать p , параметризующий ее унитарный оператор с наблюдаемой ошибкой на приемной стороне Боба. Структура информационных состояний такова, что наблюдаемая ошибка Боба Q (соответственно, информация Боба о ключе) не зависит от второго параметра c_ψ , описывающего унитарный оператор Евы. Однако информация Евы о ключе зависит как от Q (p), так и от c_ψ (данный параметр определяет угол между состояниями Евы, от которого зависит различимость этих состояний).

Измерения и информация подслушителя о ключе. После измерений Боба и отбрасывания отсчетов с неопределенным результатом, для ненормированной матрицы плотности подслушителя получаем

$$\rho_E^{i_m} = \text{Tr}_B\{|\Psi^{i_m}\rangle_{BE} \langle\Psi^{i_m}|_{M_{0_m}}\} + \text{Tr}_B\{|\Psi^{i_m}\rangle_{BE} \langle\Psi^{i_m}|_{M_{1_m}}\}. \quad (23)$$

Первое слагаемое описывает вклад в матрицу плотности Евы, если у Боба был результат в “канале регистрации” M_{0_m} , соответственно, второе – когда отсчет был в “канале регистрации” M_{1_m} . Для нормированной матрицы плотности находим

$$\rho_E^a = \frac{\rho_E^{0a} + \rho_E^{1a}}{\text{Tr}\{\rho_E^{0a} + \rho_E^{1a}\}} = \frac{1}{2} \frac{\rho_E^{0a} + \rho_E^{1a}}{(1-p)s_\eta^2 + (c_\eta^2 + 1)p}, \quad (24)$$

где

$$\rho_E^{0a} = s_\eta^2(1-p)|\bar{\psi}_{0a}\rangle\langle\bar{\psi}_{0a}| - c_\eta s_\eta \sqrt{(1-p)p}(|\bar{\psi}_{0a}\rangle\langle\bar{\theta}_{0b}| + |\bar{\theta}_{0b}\rangle\langle\bar{\psi}_{0a}|) + (c_\eta^2 + 1)|\bar{\theta}_{0b}\rangle\langle\bar{\theta}_{0b}|, \quad (25)$$

$$\rho_E^{1a} = s_\eta^2(1-p)|\bar{\psi}_{1a}\rangle\langle\bar{\psi}_{1a}| - c_\eta s_\eta \sqrt{(1-p)p}(|\bar{\psi}_{1a}\rangle\langle\bar{\theta}_{1b}| + |\bar{\theta}_{1b}\rangle\langle\bar{\psi}_{1a}|) + (c_\eta^2 + 1)|\bar{\theta}_{1b}\rangle\langle\bar{\theta}_{1b}|. \quad (26)$$

Выражения для матрицы плотности Евы в базисе b получаются из (25), (26) заменой индексов $a \rightarrow b$ и $b \rightarrow a$.

Таким образом, Ева имеет в квантовой памяти последовательность квантовых состояний

$$\rho_E^{i_{1m_1}} \otimes \rho_E^{i_{2m_2}} \otimes \dots \otimes \rho_E^{i_{nm_n}}. \quad (27)$$

Информация Евы ограничена фундаментальной величиной Холево [7]:

$$\chi(Q, c_\psi) = S(\rho_E^a) - \frac{1}{2}(S(\rho_E^{0a}) + S(\rho_E^{1a})), \quad (28)$$

где $S(\rho) = -\text{Tr}\{\rho \log \rho\}$ – энтропия фон Неймана. Величина Холево (28) дает верхнюю границу классической информации в битах, которая может быть извлечена из ансамбля квантовых состояний (27). Данная граница является достижимой и достигается на коллективных измерениях [7].

Для вычисления величины Холево в (28) требуются собственные числа матрицы плотности ρ_E^a . Оператор $\rho_E^a - \lambda I_B$, определяющий собственные числа в базисе состояний $|\bar{\psi}_{0a}\rangle, |\bar{\theta}_{0b}\rangle, |\bar{\psi}_{1a}\rangle, |\bar{\theta}_{1b}\rangle$, задается следующими матричными элементами:

$$a = \langle\bar{\psi}_{0a}|\rho_E^a|\bar{\psi}_{0a}\rangle = \frac{s_\eta^2 p \langle\bar{\psi}_{0a}|\bar{\psi}_{0a}\rangle^2 (1 + c_\psi) - 2c_\eta s_\eta \sqrt{p(1-p)} \langle\bar{\psi}_{0a}|\bar{\theta}_{1b}\rangle \langle\bar{\psi}_{0a}|\bar{\psi}_{1a}\rangle + (c_\eta^2 + 1) \langle\bar{\psi}_{0a}|\bar{\theta}_{1b}\rangle}{2[s_\eta^2(1-p)] + (c_\eta^2 + 1)p}, \quad (29)$$

$$b = \langle\bar{\theta}_{0b}|\rho_E^a|\bar{\theta}_{0b}\rangle = \frac{s_\eta^2(1-p) \langle\bar{\theta}_{0b}|\bar{\psi}_{1a}\rangle^2 - 2c_\eta s_\eta \sqrt{p(1-p)} \langle\bar{\theta}_{0b}|\bar{\theta}_{1b}\rangle \langle\bar{\psi}_{1a}|\bar{\theta}_{0b}\rangle + (c_\eta^2 + 1) (\langle\bar{\theta}_{0b}|\bar{\theta}_{1b}\rangle^2 + \langle\bar{\theta}_{0b}|\bar{\theta}_{1b}\rangle^2)}{2[s_\eta^2(1-p)] + (c_\eta^2 + 1)p}, \quad (30)$$

$$G = \langle\bar{\psi}_{0a}|\rho_E^a|\bar{\psi}_{1a}\rangle = \quad (31)$$

$$\frac{s_\eta^2(1-p) (\langle\bar{\psi}_{0a}|\bar{\psi}_{0a}\rangle \langle\bar{\psi}_{0a}|\bar{\psi}_{1a}\rangle + \langle\bar{\psi}_{1a}|\bar{\psi}_{1a}\rangle \langle\bar{\psi}_{0a}|\bar{\psi}_{1a}\rangle) - c_\eta s_\eta \sqrt{p(1-p)} (\langle\bar{\psi}_{0a}|\bar{\psi}_{0b}\rangle \langle\bar{\theta}_{0b}|\bar{\psi}_{1a}\rangle + \langle\bar{\psi}_{0a}|\bar{\theta}_{1b}\rangle \langle\bar{\psi}_{0a}|\bar{\psi}_{1a}\rangle)}{2[s_\eta^2(1-p)] + (c_\eta^2 + 1)p}$$

$$C = \langle\bar{\psi}_{1a}|\rho_E^a|\bar{\theta}_{1b}\rangle = \quad (32)$$

$$= \frac{s_\eta^2(1-p) \langle\bar{\psi}_{0a}|\bar{\psi}_{1a}\rangle \langle\bar{\psi}_{1a}|\bar{\theta}_{0b}\rangle - c_\eta s_\eta [\sqrt{p(1-p)} (\langle\bar{\psi}_{0a}|\bar{\psi}_{0a}\rangle \langle\bar{\theta}_{0b}|\bar{\theta}_{0b}\rangle + \langle\bar{\psi}_{0a}|\bar{\theta}_{1b}\rangle \langle\bar{\psi}_{1a}|\bar{\theta}_{0b}\rangle) + \langle\bar{\psi}_{0a}|\bar{\theta}_{1b}\rangle \langle\bar{\psi}_{1a}|\bar{\theta}_{0b}\rangle] +}{2[s_\eta^2(1-p)] + (c_\eta^2 + 1)p} \times$$

$$\times \frac{(c_\eta^2 + 1) \langle\bar{\psi}_{0a}|\bar{\theta}_{1b}\rangle \langle\bar{\theta}_{1b}|\bar{\theta}_{0b}\rangle}{2[s_\eta^2(1-p)] + (c_\eta^2 + 1)p},$$

$$D = \langle \bar{\psi}_{0a} | \rho_E^a | \bar{\theta}_{1b} \rangle = \frac{s_\eta^2(1-p)\langle \bar{\psi}_{1a} | \bar{\psi}_{1a} \rangle \langle \bar{\psi}_{1a} | \bar{\theta}_{0b} \rangle - 2c_\eta s_\eta [\sqrt{p(1-p)} \langle \bar{\psi}_{1a} | \bar{\psi}_{0a} \rangle \langle \bar{\theta}_{0b} | \bar{\theta}_{0b} \rangle + \langle \bar{\psi}_{1a} | \bar{\psi}_{1a} \rangle \langle \bar{\theta}_{1b} | \bar{\theta}_{0b} \rangle] +}{2[s_\eta^2(1-p) + (c_\eta^2 + 1)p]} \times$$

$$\times \frac{(c_\eta^2 + 1)\langle \bar{\psi}_{1a} | \bar{\theta}_{0b} \rangle \langle \bar{\theta}_{0b} | \bar{\theta}_{0b} \rangle}{2[s_\eta^2(1-p) + (c_\eta^2 + 1)p]}.$$

Окончательно имеем

$$\begin{pmatrix} a - \lambda & G - \lambda \cdot p(\psi, \psi) & C & D - \lambda \cdot p(\psi, \theta) \\ G - \lambda \cdot p(\psi, \psi) & a - \lambda & D - \lambda p(\psi, \theta) & C \\ C & D - \lambda \cdot p(\psi, \theta) & b - \lambda & F - \lambda \cdot p(\theta, \theta) \\ D - \lambda \cdot p(\psi, \theta) & C & F - \lambda \cdot p(\theta, \theta) & b - \lambda \end{pmatrix}, \quad (34)$$

где

$$p(\psi, \psi) = c_\eta^2 + s_\eta^2 c_\psi, \quad p(\theta, \theta) = s_\eta^2 c_\theta - c_\eta^2, \quad p(\psi, \theta) = c_\eta s_\eta (1 - c_\psi) \sqrt{\frac{1-p}{p}}. \quad (35)$$

Индексы относятся к состояниям, по которым вычисляются матричные элементы. Все величины в (29)–(34) являются функциями Q , c_ψ и η , из экономии места аргументы не выписываем. Вычисление детерминанта матрицы (34) приводит к уравнению 4-й степени общего вида, корни которого являются собственными числами матрицы плотности ρ_E^a . Имеются известные явные аналитические выражения для корней. Ввиду громоздкости они здесь не приводятся. Пусть собственные числа матрицы (34) есть $\lambda_{1,2,3,4}$. Далее,

$$S(\rho_E^a) = - \sum_{i=1}^4 \lambda_i \log \lambda_i, \quad (36)$$

$$S(\rho_E^{0a}) = S(\rho_E^{1a}) = -\bar{\lambda}_1 \log \bar{\lambda}_1 - \bar{\lambda}_2 \log \bar{\lambda}_2;$$

здесь $\bar{\lambda}_{1,2}$ – собственные числа частичной матрицы плотности (25), (26)

$$\bar{\lambda}_{1,2} = \frac{e_1 + e_2 \pm \sqrt{(e_1 - e_2)^2 + 4\gamma^2}}{2}, \quad (37)$$

$$e_1 = \frac{s_\eta^2(1-p(Q))}{s_\eta^2(1-p(Q)) + (c_\eta^2 + 1)p(Q)}, \quad (38)$$

$$e_2 = \frac{(c_\eta^2 + 1)p(Q)}{s_\eta^2(1-p(Q)) + (c_\eta^2 + 1)p(Q)},$$

$$\gamma = \frac{\sqrt{p(Q)(1-p(Q))}}{s_\eta^2(1-p(Q)) + (c_\eta^2 + 1)p(Q)}. \quad (39)$$

Зависимость p от Q дается соотношением (22).

Критическая ошибка и длина секретного ключа. Критическая ошибка Q_c , до которой можно передавать ключи и гарантировать их секретность с учетом (1) и (23), определяется уравнением

$$1 - h(Q_c) = \max_{c_\psi} \chi(Q_c, c_\psi), \quad (40)$$

где параметр c_ψ определяется Евой так, чтобы максимизировать свою информацию о ключе. Длина секретного ключа, который может быть получен из последовательности длины n , определяется как

$$r = n(1 - h(Q) - \max_{c_\psi} \chi(Q, c_\psi)). \quad (41)$$

Максимизация информации Евы проводится по одной переменной c_ψ . Зависимости $1 - h(Q)$ и $\max_{c_\psi} \chi(Q, c_\psi)$ как функции наблюдаемой ошибки на приемной стороне при оптимальном значении c_ψ , которое находилось численно, представлены на рис.1 при различных значениях угла η (формула (2)) между информационными состояниями. Значения угла между состояниями указаны на рис.1a, b.

На рис.2a приведена зависимость $1 - h(Q) - \chi(Q, c_\psi)$ на плоскости параметров (Q, c_ψ) . Указана область, где $|c_\theta| > 1$, и решения отсутствуют. На рис.2b приведена зависимость критической ошибки, до которой возможно распространение секретных ключей, как функция угла η между состояниями внутри базисов.

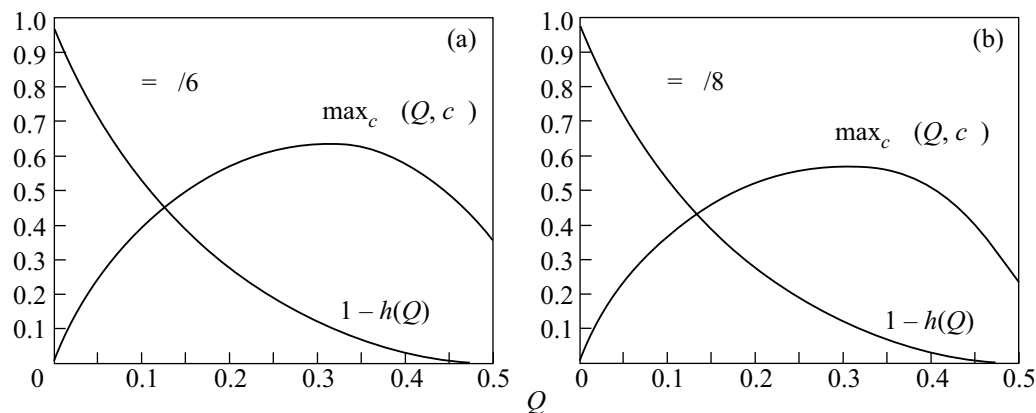


Рис.1

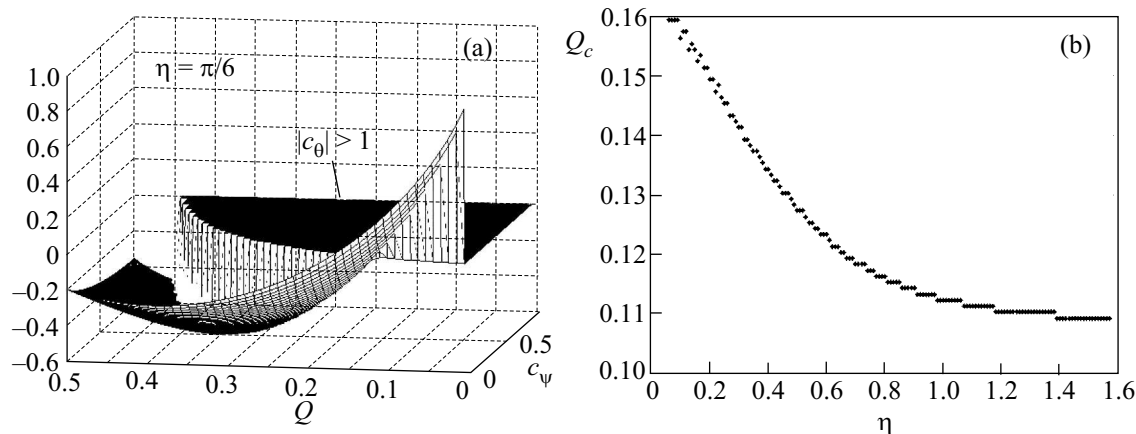


Рис.2

Один из авторов (С.Н.М.) выражает благодарность Академии криптографии Российской Федерации за поддержку. Работа частично поддержана проектом Российского фонда фундаментальных исследований # 08-02-00559.

1. G. Brassard, N. Lütkenhaus, T. Mor, and B. Sanders, *Phys. Rev. Lett.*, **85**, 1330 (2000); N.Lütkenhaus, *Phys. Rev. A* **61**, 052304 (2000).
2. С.Н. Bennett, G. Brassard, *Quantum Cryptography: Public Key Distribution and Coin Tossing*, Proc.of IEEE Int. Conf. on Comput. Sys. and Sign. Proces., Bangalore, India, December 1984, p.175.
3. V. Scarani, A. Acin, G. Ribordy, and N. Gisin, *Phys. Rev. Lett.* **92**, 057901-1 (2004).
4. C. Branciard, N. Gisin, B. Kraus, and V. Scarani, *Phys. Rev. A* **72**, 032301 (2005).
5. С. Н. Молотков, *ЖЭТФ* **133**, 5 (2008); *Письма в ЖЭТФ* **88**, 315 (2008).
6. С.Е. Shannon, *Bell Syst. Tech. Jour.* **27**, 397; 623 (1948).

7. А. С. Холево, *Введение в квантовую теорию информации*, серия *Современная математическая физика*, вып.5, М.: МЦНМО, 2002; *Успехи математических наук* **53**, 193 (1998).
8. M. Nielsen and I. Chuang, *Quantum Computation and Quantum Information*, Cambridge University Press, 2001; (М.Нильсен, И.Чанг, *Квантовые вычисления и квантовая информация*, М.: Мир, 2006).
9. Р. Галлагер, *Теория информации и надежная связь*, М.: Сов. Радио, 1974.
10. С. Н. Bennett, G. Brassard, С. Crépeau, and U. Maurer, *IEEE Transaction on Information Theory*, **41**, 1915 (1995).
11. J.L. Carter and M.N. Wegman, *J. of Computer and System Sciences* **18**, 143 (1979).
12. R. Renner, arXiv: quant-ph/0512258.
13. С. Н. Молотков, А. В. Тимофеев, *Письма в ЖЭТФ* **85**, 632 (2007).
14. М. А. Наймарк, *Известия АН СССР (математическая серия)* **4**, 277 (1940).